

# Simulation de collapse d'une bulle à l'aide d'un supercalculateur hybride

Remy Dubois\*, Eric Goncalves da Silva † and Philippe Parnaudeau †

\* IDRIS, CNRS, UPS 851

e-mail: [remy.dubois@idris.fr](mailto:remy.dubois@idris.fr), web page: <http://www.idris.fr>

† Institut Pprime, CNRS, UPR 3346

e-mail: [eric.goncalves@ensma.fr](mailto:eric.goncalves@ensma.fr), [philippe.parnaudeau@cnrs.pprime.fr](mailto:philippe.parnaudeau@cnrs.pprime.fr) - Web page: <https://www.pprime.fr>



# Le supercalculateur hybride



Figure: Jean Zay

- La puissance crête cumulée est de **28 Pflop/s**
- **2 696** Nvidia Tesla V100
- **85 000** cœurs Intel Cascade Lake
- Intel Omni-Path 100 Gb/s

# Contexte général

La cavitation est un phénomène qui peut avoir des conséquences négatives (érosion), mais également positives (soin par lithotripsie.)

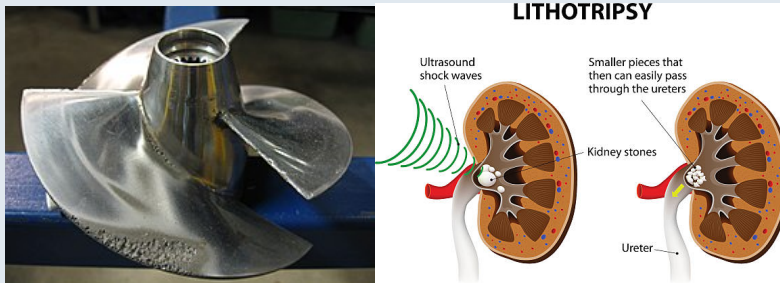
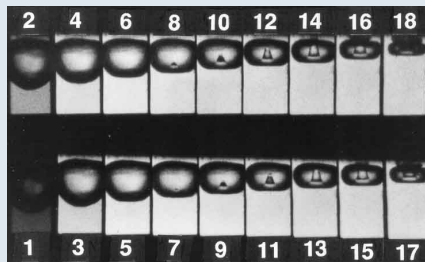


Figure: dommages dû à de la cavitation sur une hélice, traitement par onde de choc de calculs rénaux

# Collapse d'une bulle

Le collapse d'une bulle induit par une onde de choc est un événement violent, d'une grande intensité (Giga Pascal) et très rapide ( $\mu$  seconde).

Notre code multiphasique (**SCB**) permet de réaliser des simulations numériques 3D réalistes de tels phénomènes.



**Figure:** différents instants du collapse d'une bulle, d'après Y. Tomita et A. Shima, A. (1990) : High-speed photographic observations of laser-induced cavitation bubbles in water, *Acustica*, 71, No. 3

# Modèle à 4 équations

## Principales difficultés :

- Ecoulement diphasique, compressible, onde de choc
- Intensité et brièveté du phénomène
- Coût élevé des simulations numériques 3D ( $> 1.10^9$  cellules)

## Hypothèses :

- Effets de tension de surface et visqueux : négligés
- Pas de transfert de masse
- Maillage structuré cartésien

## Solutions retenues :

- ⇒ Modèle à 4 équations : bonne précision et coût de calcul plus faible
- ⇒ Approche hybride MPI-ACC pour usage sur supercalculateur hétérogène

# Équations de base

## Description du modèle

- Le 4-Eq est une réduction du modèle à 5-Eq proposé par Kapila.
- 3 équations conservatives : masse, momentum et énergie totale + équation de transport pour le taux de vide ( $\alpha$ )

## Expression numérique du modèle

$$\frac{\partial \mathbf{W}}{\partial t} + \nabla \cdot \mathbf{A} + \mathbf{S} \nabla \cdot \mathbf{u} = \mathbf{0}$$

$\mathbf{W} = (\rho, \rho \mathbf{u}, E, \alpha)^\top$  : vecteur d'état

$\mathbf{A} = (\rho \mathbf{u}, \rho \mathbf{u} \otimes \mathbf{u} + P \mathbf{1}, \alpha \mathbf{u})^\top$  : vecteur flux

$\mathbf{S} = (0, \mathbf{0}, 0, -(K + \alpha))^\top$  : terme source

- L'équation de Wallis : vitesse du son
- En supposant l'équilibre mécanique et thermique du système : l'équation des gaz raides

# Stratégie

## Remarques :

- Coût des simulations 3D  $\Rightarrow$  Utilisation des supercalculateurs
- Supercalculateur hétérogène (CPU+ accélérateur)  $\Rightarrow$  2 paradigmes (MPI+xxx)
- GPU majoritaire  $\Rightarrow$  OpenCL, CUDA, OpenMP, OpenACC, etc. : lequel choisir ?

## Choix des paradigmes

- $\Rightarrow$  MPI+OpenMP - Au départ, pour un usage uniquement CPU-CPU
- $\Rightarrow$  MPI+OpenACC - A présent pour usage CPU-CPU et CPU-GPU

## Objectifs :

- Performance
- Portabilité
- Développement et maintenance

# Parallélisation "mémoire distribuée" (MPI)

- Code "stencil" (5 pts / direction)
- Points fantômes
- Echange P2P

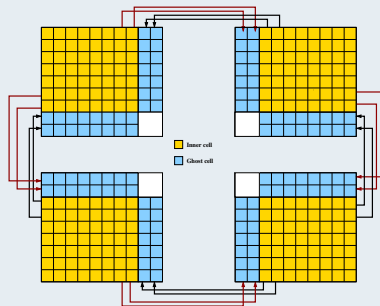


Figure: vue schématique des communications

# Parallélisation "mémoire partagée"

- Programmation "fine-grain"  $\iff$  directive *OMP DO*
- Minimiser l'usage de la directive *OMP PARALLEL*
- *ACC DATA PRESENT*

```

1 DO ndt=1,ndtmax
2
3 !SOMP PARALLEL IF(ijmax.gt.256) default(none)
4 !SOMP DO SCHEDULE (runtime) PRIVATE (i,j,k) COLLAPSE(2)
5 DO k=kmin,kmax
6 DO j=jmin,jmax
7 DO i=imin,imax
8   R11=w1(i,j,k) - w1(i-1,j,k)
9   sl=dmax(0.0,dmin(R11,1.0))+dmin(0,dmax(1,R11))
10  W1(i,j,k)= W1(i-1,j,k)+1/4*sl*(W1(i-1,j,k) - W1(i-2,j,k))+1/4*sl*(W1(i,j,
    k) - W1(i-1,j,k))
11  ENDDO
12  ENDDO
13  ENDDO
14 !SOMP END DO
15 CALL BOUNDARY (W1)
16 !SOMP END PARALLEL
17 CALL MPLSENDRECV(W1, imax*kmax, MPLDOUBLE_PRECISION,&neib_mpi(
    N),tag, W1, imax*kmax, MPLDOUBLE_PRECISION,&neib_mpi(S) ,tag,
    comm, status, err_mpi)
18
19 ENDDO

```

Listing 1: OpenMP

```

1 !SACC DATA COPY (W1)
2 DO ndt=1,ndtmax
3 !SACC KERNELS DATA PRESENT(W1)
4 DO k=kmin,kmax
5 DO j=jmin,jmax
6 DO i=imin,imax
7   R11=w1(i,j,k) - w1(i-1,j,k)
8   sl=dmax(0.0,dmin(R11,1.0))+dmin(0,dmax(1,R11))
9   W1(i,j,k)= W1(i-1,j,k)+1/4*sl*(W1(i-1,j,k) - W1(i-2,j,k))+1/4*sl*(W1(i,j,
    k) - W1(i-1,j,k))
10  ENDDO
11  ENDDO
12  ENDDO
13 !SACC END KERNELS
14 CALL BOUNDARY (W1)
15 !SACC UPDATE HOST(W1)
16 CALL MPLSENDRECV(W1, imax*kmax, MPLDOUBLE_PRECISION,&neib_mpi(
    N),tag,W1, imax*kmax, MPLDOUBLE_PRECISION,&neib_mpi(S) ,tag,
    comm, statut, err_mpi)
17 !SACC UPDATE DEVICE(W1)
18 ENDDO
19 !SACC END DATA

```

Listing 2: OpenACC

# Un coeur Intel Xeon 6248

## Résumé de l'anayse (Roofline) :

- Intensité arithmétique  $\simeq 0.3 \iff$  Mémoire- dépendant donc limité par le débit mémoire
- $\simeq 7\%$  du pic théorique d'un seul coeur, un taux de vectorisation de l'ordre  $\simeq 85\%$
- $\simeq 20\%$  de la bande passante mémoire maximale

## Remarques :

- Merci Intel-Advisor et la librairie PAPI
- Intensité arithmétique = FLOPs / Octet manipulé (calcul/mémoire)
- Intensité arithmétique faible commun avec ce type de code (stencil)

# OpenMP vs OpenACC : CPU

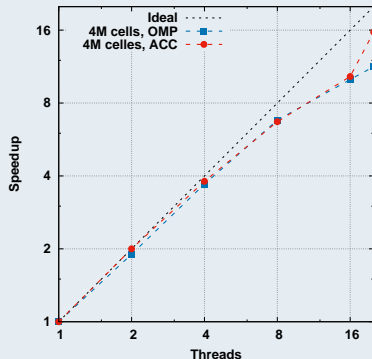
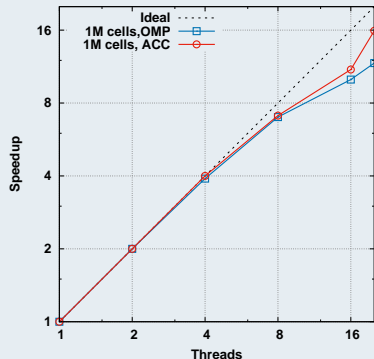
- Strong scaling (passage à l'échelle "fort"): [1 : 20] coeurs d'un processeur Intel Xeon 6248

Threads	1 million de cellules			4 millions de cellules		
	Temps de calcul		Accélération	Temps de calcul		Accélération
	OMP	ACC		OMP	ACC	
1	691.00	1243.85	1.8	2770.12	4047.05	1.46
2	348.77	603.18	1.73	1399.92	2016.77	1.44
4	183.43	309.99	1.69	733.03	1047.72	1.43
8	102.73	176.96	1.72	408.13	600.99	1.47
16	69.67	113.77	1.63	268.62	389.09	1.44
20	62.10	78.60	1.26	244.35	255.85	1.04

Table: OpenMP (OMP) vs OpenACC (ACC)

# OpenMP vs OpenACC : CPU

- Strong scaling: [1 : 20] coeurs d'un processeur Intel Xeon 6248



- La programmation grain fin explique sans doute le manque de performance > 10 coeurs.

## CPU vs GPU

- Strong scaling : 1 et 20 coeurs Intel Xeon 6248 vs 1 NVidia Tesla V100 card

Threads	1 million de cellules			4 millions de cellules		
	Temps de calcul		Accélération	Temps de calcul		Accélération
	CPU-ACC	GPU-ACC		CPU-ACC	GPU-ACC	
1	1243.85	34.60	35.94	4047.05	102.79	39.37
20	78.60		2.27	255.85		2.48

Table: CPU Versus GPU with OpenACC

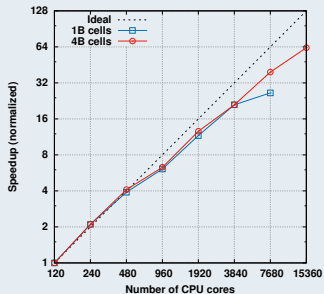
Threads	1 million de Cellules			4 millions de Cellules		
	Temps de calcul		Accélération	Temps de calcul		Accélération
	CPU-OMP	GPU-ACC		CPU-OMP	GPU-ACC	
1	691.00	34.60	19.97	2770.12	102.79	26.94
20	62.10		1.79	244.35		2.37

Table: CPU avec OpenMP Versus GPU avec OpenACC

# MPI-seul (CPU)

## Accélération

- Strong scaling : [120 : 15 360] Intel Xeon Gold 6248
- Simulation 3D avec 1 milliard et 4 milliards de cellules

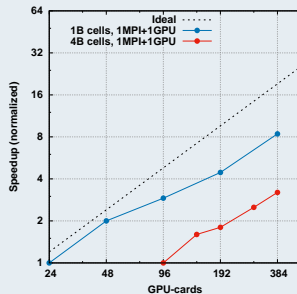


- Efficacité  $\simeq 50\%$  avec 15 360 cores
- Efficacité  $> 80\%$   $\iff 10^6$  cellules par sous-domaine MPI est un optimum

# MPI-OpenACC (GPU)

## Accélération

- Strong scaling : [24 : 384] NVidia Tesla V100 card
- Simulation 3D avec 1 milliard et 4 milliards de cellules



- Efficacité  $\simeq 80\%$  avec 384 GPU
- Efficacité  $> 80\%$   $\iff 10^7$  cellules par sous-domaine MPI est un optimum

# Multi-CPU vs multi-GPU

1 milliard de cellules				4 milliards de cellules			
CPU		GPU		CPU		GPU	
Coeurs	Temps	Cartes	Temps	Coeurs	Temps	Cartes	Temps
240	1400	24	1917	960	1001	96	1030
480	730	48	955	1920	530	192	580
960	470	96	658	3840	318	384	320
1920	245	192	432				
3840	136	384	228				

Table: MPI-Alone (CPU) versus MPI-OpenACC (MPI+GPU) (GPU)

- Performance intéressante en multi-GPU
- OpenACC est un choix mature

# Collapse d'une bulle en proche paroi dû à une onde incidente

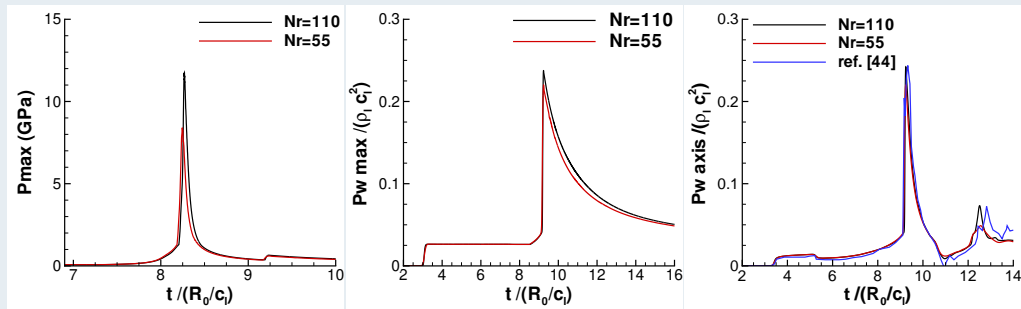
## Description

- Une bulle d'air proche d'une paroi dans une liquide, avec un rayon initial :  $R_0$
- Onde incidente se déplaçant à  $\text{Mach} = 1.024$

$$(\rho, \mathbf{u}, p) = \begin{cases} (998 \text{ kg/m}^3, \mathbf{0} \text{ m/s}, 10^5 \text{ Pa}) & \text{Dans le liquide (eau)} \\ (1 \text{ kg/m}^3, \mathbf{0} \text{ m/s}, 10^5 \text{ Pa}) & \text{Dans la bulle (air)} \end{cases}$$

- Symétrie en  $y$  et  $z \rightarrow$  limite la simulation à un quart du domaine
- $[L_x \times L_y \times L_z] = [8R_0 \times 12R_0 \times 12R_0]$
- 2 maillages utilisés  $N_{r(b,0)} = [55, 110]$
- Etude comparative avec Wermelinger *et al.* (J. Comput. Sci., 2018)

# Evolution de la pression



**Figure:** Pression dans le liquide (Gauche), à la paroi (Centre) et le long d'un axe sur la paroi (Droite)

- Bon accord avec les résultats de Wermelinger *et al.*(ref. [44]).
- L'intensité maximale de pression dans le fluide est  $340 \times$  intensité pression onde incidente.
- L'influence du maillage est forte pour capter le pic de pression dans le fluide, cela l'est moins à la paroi.

# Visualisations

Composante longitudinale de la vitesse, pression à la paroi, gradient de la densité et taux de vide

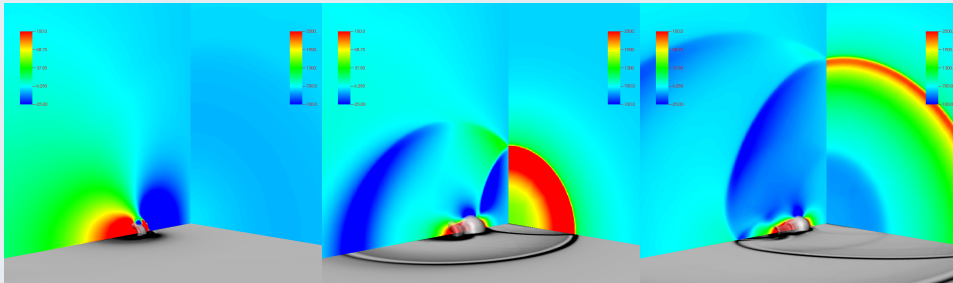


Figure: De gauche à droite  $t^* = (8.4, 10.1, 12.1)$

- A  $t^* = 8.4$  : la bulle a une forme toroïdale + jet rapide à l'intérieur → "Water-hammer", premier collapse → fragments de bulle
- A  $t^* = 10.1$  : l'onde de choc du "Water-hammer" arrive à la paroi → Intense peak de pression à la paroi (érosion) → onde réfléchiée dans le fluide
- A  $t^* = 12.1$  : l'onde réfléchiée collisionne les fragments de bulle → Re-collapse

# Conclusion

## Résultats

- OpenACC : performances acceptables sur un ou plusieurs accélérateurs (GPU)
- Le modèle 4 équations est efficace et précis
- "High performance computing of stiff bubble collapse on CPU-GPU heterogeneous platform", Computers & Mathematics with Applications, 2021

## Perspectives

- MPI-OpenMP versus MPI-OpenACC sur GPU
- J'espère une version commune entre OpenACC and OpenMP avant ma retraite ?!

## Remerciements

Ce travail a été financé par l'Agence Nationale de la Recherche ANR (project 18-CE46-009). Les calculs ont été réalisés sur le supercalculateur Jean Zay du GENCI (IDRIS, CNRS) sous l'allocation A0072A10981.